

1. 使用 Euler method, midpoint method, RK4 method, Euler-trapezoidal method 求解单摆的运动。单摆的运动方程及总能量为（将单摆的最低点设为重力势能的零点）：

$$\theta + \frac{l}{g} \ddot{\theta} = 0, E = \frac{mgl}{2} \theta^2 + \frac{ml^2}{2} \dot{\theta}^2$$

无量纲化，令 $\frac{l}{g} = 1, \frac{ml^2}{2} = 1$ ，原方程化为：

$$\theta + \ddot{\theta} = 0, E = \theta^2 + \dot{\theta}^2$$

定义 $\theta = y_1, \frac{d\theta}{dt} = y_2$ ，我们可以得到：

$$\frac{dy_1}{dt} = y_2, \frac{dy_2}{dt} = -y_1$$

定义 $Euler(T, h)$ 函数来实现 Euler method, T 为我们要计算的时间范围, h 为 Euler method 中的步长 step size。

$N = \text{int}(T/h)$ 为迭代的总次数。初始化四个列表 $t_points, y1_points, y2_points, energy$ 用来存放计算出的时间 t 值、 $y_1 = \theta$ 值、 $y_2 = \dot{\theta}$ 值和能量 E 值。初值设置为： $y = [y_1, y_2] = [\frac{\pi}{40}, 0]$ ，即初始角度 $\theta_0 = 4.5^\circ$ ，初始角速度 $\dot{\theta}_0 = 0$ 。

在函数内部通过 for 循环完成迭代。先往三个列表里添加 t, y_1, y_2 值，然后再添加能量

$$E = \theta^2 + \dot{\theta}^2$$

在循环的末尾修改 y ：

$$y = \left[y_1 + h \cdot \frac{dy_1}{dt}, y_2 + h \cdot \frac{dy_2}{dt} \right] \\ = [y_1 + hy_2, y_2 - hy_1]$$

然后进入下一个循环。

在所有循环结束后，还需要把最后一次迭代得到的点加入列表。然后绘制 $\theta - t$ 图和 $E - t$ 图。

```

4  def Euler(T, h):
5      # We set l/g = 1, ml^2/2 = mgl/2 = 1
6      #  $\theta = y_1, d\theta/dt = y_2$ 
7      #  $dy_1/dt = y_2, dy_2/dt = -y_1$ 
8      N = int(T / h)
9      t_points = []
10     y1_points = []
11     y2_points = []
12     energy = []
13     y = [pi/40, 0]
14
15     for i in range(N):
16         t_points.append(h * i)
17         y1_points.append(y[0])
18         y2_points.append(y[1])
19         energy.append(y[0]**2 + y[1]**2)
20         y = [y[0] + y[1]*h, y[1] - y[0]*h]
21
22     t_points.append(h * N)
23     y1_points.append(y[0])
24     y2_points.append(y[1])
25     energy.append(y[0]**2 + y[1]**2)
26
27     plt.plot(t_points, y1_points)
28     plt.show()
29     plt.plot(t_points, energy)
30     plt.show()
31
32     return t_points, y1_points, y2_points

```

其他的函数： $midpoint(T, h)$, $RK4(T, h)$, $Euler_trapezoidal(T, h)$ 分别定义了 $midpoint$ method, RK4 method 以及 Euler-trapezoidal method。函数的主体部分几乎完全一致，只修改了迭代中的计算新的 y 的部分。

```

34 def midpoint(T, h):
35     N = int(T / h)
36     t_points = []
37     y1_points = []
38     y2_points = []
39     energy = []
40     y = [pi/40, 0]
41
42     for i in range(N):
43         t_points.append(h * i)
44         y1_points.append(y[0])
45         y2_points.append(y[1])
46         energy.append(y[0]**2 + y[1]**2)
47         y_temp = [y[0] + (y[1]*h)/2, y[1] - (y[0]*h)/2]
48         y = [y[0] + y_temp[1]*h, y[1] - y_temp[0]*h]
49
50     t_points.append(h * N)
51     y1_points.append(y[0])
52     y2_points.append(y[1])
53     energy.append(y[0]**2 + y[1]**2)
54
55     plt.plot(t_points, y1_points)
56     plt.show()
57     plt.plot(t_points, energy)
58     plt.show()
59
60     return t_points, y1_points, y2_points

```

```

62 def RK4(T, h):
63     N = int(T / h)
64     t_points = []
65     y1_points = []
66     y2_points = []
67     energy = []
68     y = [pi/40, 0]
69
70     for i in range(N):
71         t_points.append(h * i)
72         y1_points.append(y[0])
73         y2_points.append(y[1])
74         energy.append(y[0]**2 + y[1]**2)
75
76         k1 = [y[1], -y[0]]
77         k2 = [y[1] + (h/2)*k1[1], -(y[0] + (h/2)*k1[0])]
78         k3 = [y[1] + (h/2)*k2[1], -(y[0] + (h/2)*k2[0])]
79         k4 = [y[1] + h*k3[1], -(y[0] + h*k3[0])]
80
81         temp = [(a + 2*b + 2*c + d) / 6 for a, b, c, d in zip(k1, k2, k3, k4)]
82         y = [y[0] + temp[0]*h, y[1] + temp[1]*h]
83
84     t_points.append(h * N)
85     y1_points.append(y[0])
86     y2_points.append(y[1])
87     energy.append(y[0]**2 + y[1]**2)
88
89     plt.plot(t_points, y1_points)
90     plt.show()
91     plt.plot(t_points, energy)
92     plt.show()
93
94     return t_points, y1_points, y2_points

```

对于 $midpoint(T, h)$:

$$y_{temp} = \left[y_1 + \frac{h}{2} \cdot \frac{dy_1}{dt}, y_2 + \frac{h}{2} \cdot \frac{dy_2}{dt} \right] = \left[y_1 + \frac{h}{2} \cdot y_2, y_2 - \frac{h}{2} \cdot y_1 \right]$$

$$y = [y_1 + hy_{temp2}, y_2 - hy_{temp1}]$$

对于 $RK4(T, h)$:

$$k_1 = [y_2, -y_1], k_2 = [y_2 + \frac{h}{2} \cdot k_{12}, -(y_1 + \frac{h}{2} \cdot k_{11})]$$

$$k_3 = [y_2 + \frac{h}{2} \cdot k_{22}, -(y_1 + \frac{h}{2} \cdot k_{21})], k_4 = [y_2 + h \cdot k_{32}, -(y_1 + h \cdot k_{31})]$$

$$temp = \Delta y = \frac{h}{6} (k_1 + 2k_2 + 2k_3 + k_4), y = [y_1 + \Delta y_1, y_2 + \Delta y_2]$$

对于 $Euler_trapezoidal(T, h)$,除了和 $Euler(T, h)$ 一样的常规的 Euler method, 即 predictor part, 还加了一段代码执行 Trapezoidal rule。

```

115     # Trapezoidal rule:
116     for j in range(iteration):
117         y_derivative = [(y[1] + y_temp[1]) / 2, -(y[0] + y_temp[0]) / 2]
118         y_temp = [y[0] + y_derivative[0]*h, y[1] + y_derivative[1]*h]
119     y = y_temp

```

$$y_{derivative} = \frac{dy}{dx} = \left[\frac{y_2 + y_2'}{2}, -\frac{y_1 + y_1'}{2} \right]$$

$$y = [y_1 + h \frac{dy_1}{dx}, y_2 + h \frac{dy_2}{dx}]$$

在每个循环中再进行三次 Trapezoidal rule 迭代，这就是 corrector part。

这样就完成了四个函数的编写，在 `main()` 函数中分别测试四个函数，选取一致的参数 $T = 50, h = 0.001$ 。

```
133 def main():
134     T = 50
135     h = 0.001
136     Euler(T, h)
137     midpoint(T, h)
138     RK4(T, h)
139     Euler_trapezoidal(T, h)
```

得到的结果如图所示：

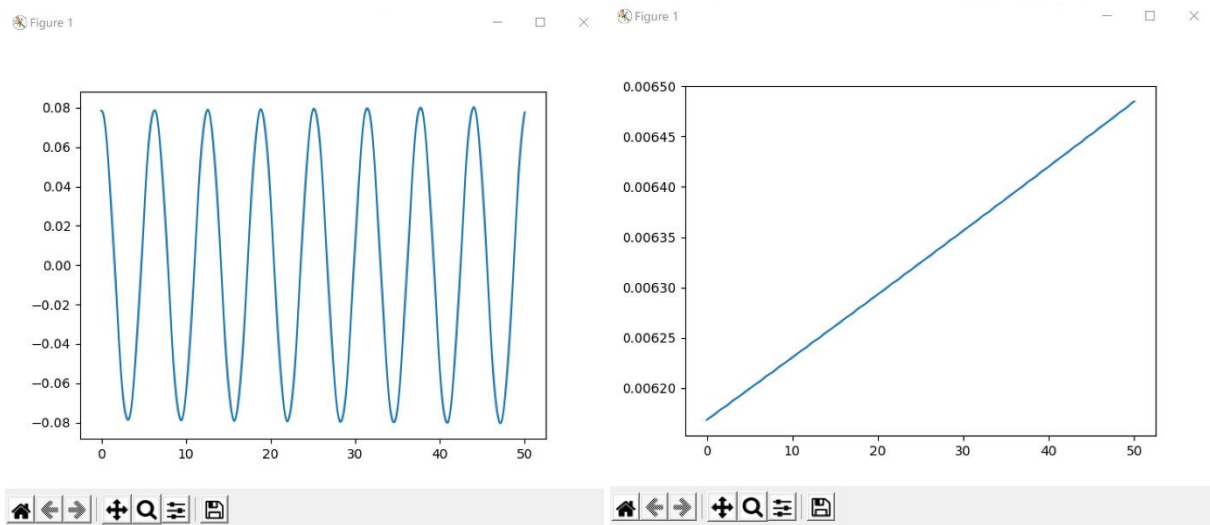


图 1 Euler method $\theta - t$ 图

图 2 Euler method $E - t$ 图

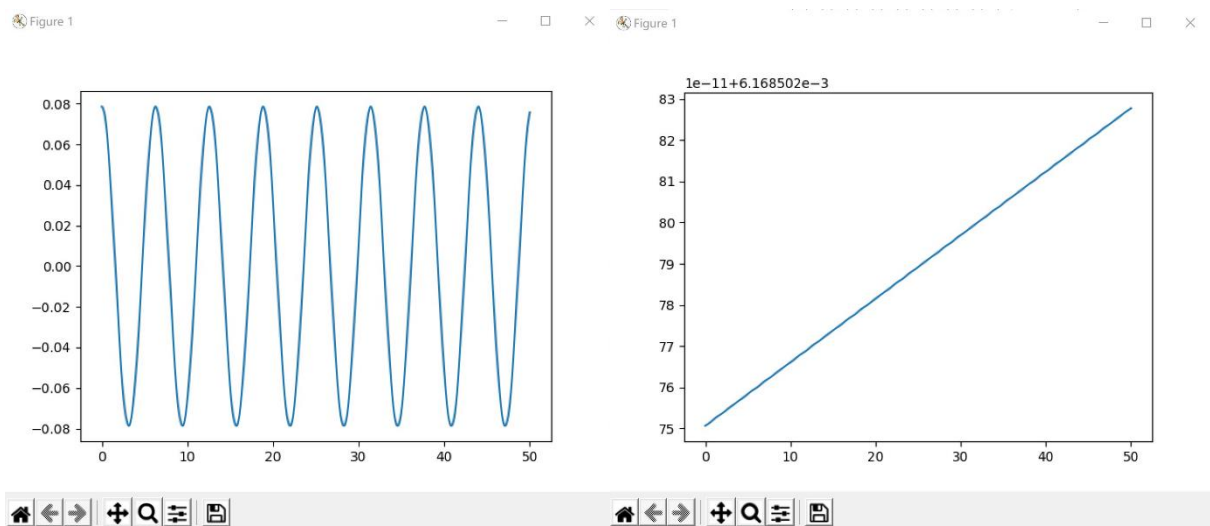


图 3 midpoint method $\theta - t$ 图

图 4 midpoint method $E - t$ 图

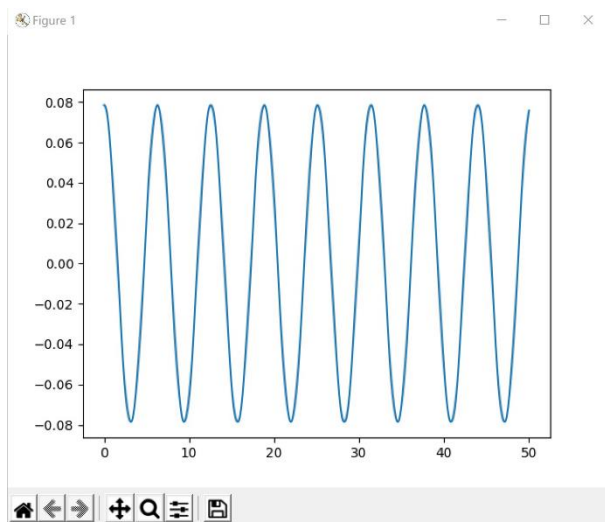


图 5 RK4 method $\theta - t$ 图

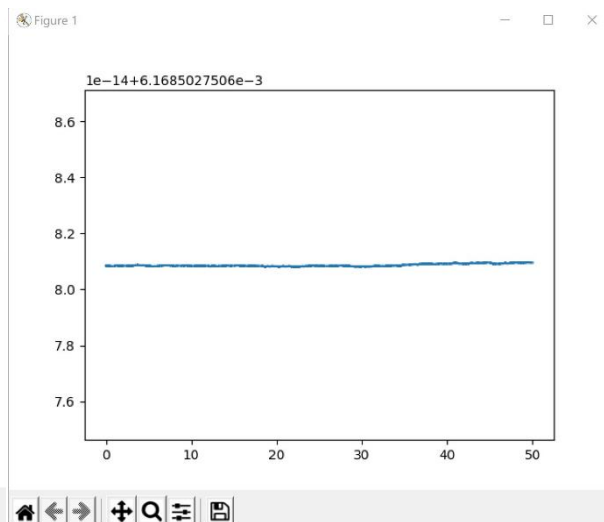


图 6 RK4 method $E - t$ 图

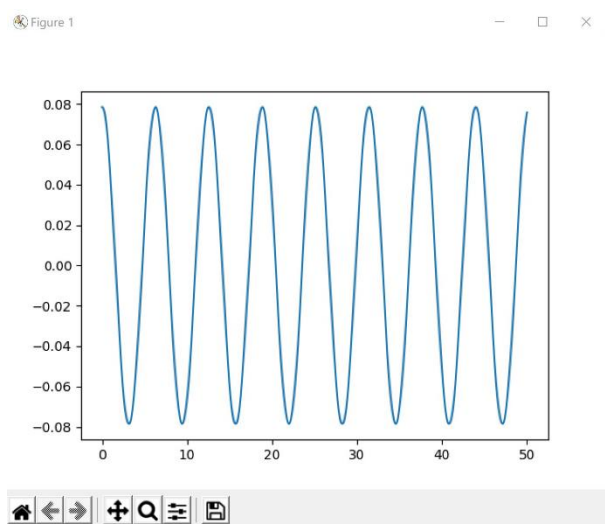


图 7 Euler-trapezoidal method $\theta - t$ 图

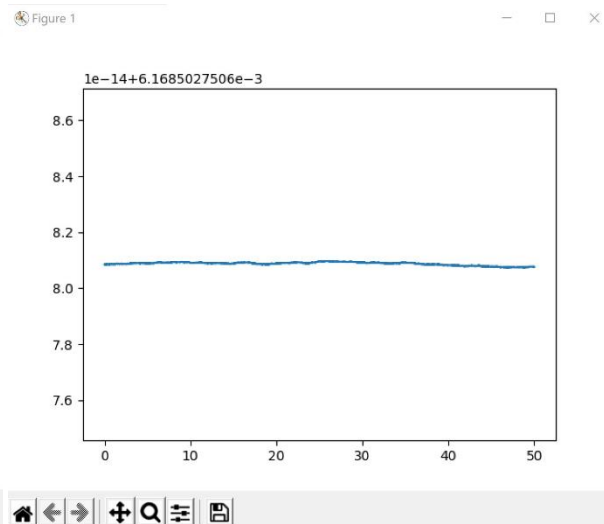


图 8 Euler-trapezoidal method $E - t$ 图

可以看到， $\theta - t$ 图总体看来都很相似，但 $E - t$ 图差别很大。

Euler method 能量总体在增加，因为

$$y' = [y'_1, y'_2] = \left[y_1 + h \cdot \frac{dy_1}{dt}, y_2 + h \cdot \frac{dy_2}{dt} \right] = [y_1 + hy_2, y_2 - hy_1]$$

$$E'^2 = y_1'^2 + y_2'^2 = (y_1 + hy_2)^2 + (y_2 - hy_1)^2 = y_1^2 + y_2^2 + h^2(y_1^2 + y_2^2) = E^2 + h^2E^2$$

因此总能量一直在以 h^2 增加。

midpoint method 能量也一直在增加，但数量级已经小了很多，在 10^{-11} ，原因在于：

$$y = [y_1 + hy_{temp2}, y_2 - hy_{temp1}]$$

$$E'^2 \approx y_1^2 + y_2^2 + h^2(y_{temp1}^2 + y_{temp2}^2)$$

总能量仍然在小幅增加。

RK4 method 和 Euler-trapezoidal method 能量总体很稳定，在 10^{-14} 数量级小幅波动。说明 RK4 method 和 Euler-trapezoidal method 是在整体上更优的解法，但也伴随着更大的计算量。

Input: $\theta + \ddot{\theta} = 0, E = \theta^2 + \dot{\theta}^2, \theta_0 = \frac{\pi}{40}, \dot{\theta}_0 = 0$

Output: $\theta(t), \dot{\theta}(t), E(t)$

1. **Function** *Euler*(T, h)
2. $N \leftarrow \text{int}(\frac{T}{h})$
3. $t_{\text{points}} \leftarrow [], y1_{\text{points}} \leftarrow [], y2_{\text{points}} \leftarrow [], \text{energy} \leftarrow []$
4. $y \leftarrow [\frac{\pi}{40}, 0]$
5. **For** $i \leftarrow 1$ **to** N **Do**
6. $t_{\text{points}}[i] \leftarrow h \cdot i$
7. $y1_{\text{points}}[i] \leftarrow y[1]$
8. $y2_{\text{points}}[i] \leftarrow y[2]$
9. $\text{energy}[i] \leftarrow y[1]^2 + y[2]^2$
10. $y \leftarrow [y[1] + h \cdot y[2], y[2] - h \cdot y[1]]$
11. **Return** $t_{\text{points}}, y1_{\text{points}}, y2_{\text{points}}, \text{energy}$
12. **End Function**
- 13.
14. **Function** *midpoint*(T, h)
15. $N \leftarrow \text{int}(\frac{T}{h})$
16. $t_{\text{points}} \leftarrow [], y1_{\text{points}} \leftarrow [], y2_{\text{points}} \leftarrow [], \text{energy} \leftarrow []$
17. $y \leftarrow [\frac{\pi}{40}, 0]$
18. **For** $i \leftarrow 1$ **to** N **Do**
19. $t_{\text{points}}[i] \leftarrow h \cdot i$
20. $y1_{\text{points}}[i] \leftarrow y[1]$
21. $y2_{\text{points}}[i] \leftarrow y[2]$

22. $energy[i] \leftarrow y[1]^2 + y[2]^2$
23. $y_{temp} \leftarrow \left[y[1] + \frac{h}{2} \cdot y[2], y[2] - \frac{h}{2} \cdot y[1] \right]$
24. $y \leftarrow [y[1] + h \cdot y_{temp}[2], y[2] - h \cdot y_{temp}[1]]$
25. **Return** $t_{points}, y1_{points}, y2_{points}, energy$
26. **End Function**

其余函数 $RK4(T, h)$ 、 $Euler_trapezoidal(T, h)$ 的伪代码只需要按照上文所述，对相应部分做修改即可，在这里就省略了。

2. 用第 1 题中的方法解 Lorenz 方程。这道题相对简单，将第 1 题中的 Euler-trapezoidal method 复制粘贴过来，稍作修改。令 $x = y_1, y = y_2, z = y_3$ 。

```

18     # Euler method:
19     y_derivative = [10 * (y[1] - y[0]), 28 * y[0] - y[1] - y[0] * y[2], y[0] * y[1] - (8/3) * y[2]]
20     y_temp = [y[0] + y_derivative[0]*h, y[1] + y_derivative[1]*h, y[2] + y_derivative[2]*h]
21
22     # Trapezoidal rule:
23     for j in range(iteration):
24         y_derivative[0] = 10 * (y_temp[1] - y_temp[0])
25         y_derivative[1] = 28 * y_temp[0] - y_temp[1] - y_temp[0] * y_temp[2]
26         y_derivative[2] = y_temp[0] * y_temp[1] - (8/3) * y_temp[2]
27         y_temp = [y[0] + y_derivative[0]*h, y[1] + y_derivative[1]*h, y[2] + y_derivative[2]*h]
28     y = y_temp

```

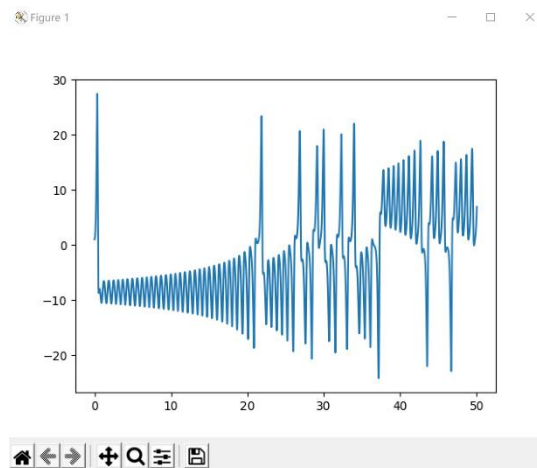
$$y_{\text{derivative}} = \frac{dy}{dt} = \left[\frac{dy_1}{dt}, \frac{dy_2}{dt}, \frac{dy_3}{dt} \right] = [10(y_2 - y_1), 28y_1 - y_2 - y_1y_3, y_1y_2 - \frac{8}{3}y_3]$$

$$y = [y_1 + h \frac{dy_1}{dt}, y_2 + h \frac{dy_2}{dt}, y_3 + h \frac{dy_3}{dt}]$$

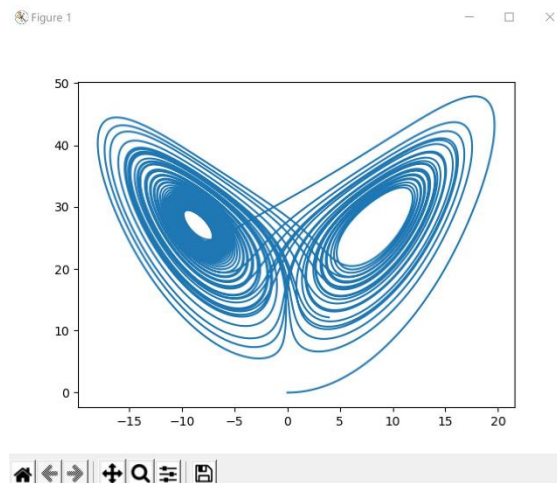
当然在 Trapezoidal rule 部分也做一样的修改，其他没有任何不同。

作图部分绘制的是 $y-t$ 图和 $z-x$ 图，得到的结果如图所示：

Unpredictable nature of the Motion:



Lop-sided butterfly-shaped plot:



Input: $\frac{dy_1}{dt} = 10(y_2 - y_1), \frac{dy_2}{dt} = 28y_1 - y_2 - y_1y_3, \frac{dy_3}{dt} = y_1y_2 - \frac{8}{3}y_3$

Output: $y_2(t), y_3(y_1)$

```
1. Function Euler_trapezoidal(T, h)
2.  $N \leftarrow \text{int}(\frac{T}{h})$ 
3.  $t_{\text{points}} \leftarrow [], y1_{\text{points}} \leftarrow [], y2_{\text{points}} \leftarrow [], y3_{\text{points}} \leftarrow []$ 
4.  $y \leftarrow [0, 1, 0]$ 
5.  $y' \leftarrow [0, 1, 0]$ 
6. For  $i \leftarrow 1$  to  $N$  Do
7.    $t_{\text{points}}[i] \leftarrow h \cdot i$ 
8.    $y1_{\text{points}}[i] \leftarrow y[1]$ 
9.    $y2_{\text{points}}[i] \leftarrow y[2]$ 
10.   $y3_{\text{points}}[i] \leftarrow y[3]$ 
11.  /* Euler method */
12.   $y_{\text{derivative}} \leftarrow [10(y[2] - y[1]), 28y[1] - y[2] - y[1]y[3], y[1]y[2] - \frac{8}{3}y[3]]$ 
13.   $y' \leftarrow [y[1] + h \cdot y_{\text{derivative}}[1], y[2] + h \cdot y_{\text{derivative}}[2], y[3] + h \cdot y_{\text{derivative}}[3]]$ 
14.
15.  /* Trapezoidal rule */
16.  For  $j \leftarrow 1$  to 3 Do
17.     $y_{\text{derivative}}[1] \leftarrow 10(y'[2] - y'[1])$ 
18.     $y_{\text{derivative}}[2] \leftarrow 28y'[1] - y'[2] - y'[1]y'[3]$ 
19.     $y_{\text{derivative}}[3] \leftarrow y'[1]y'[2] - \frac{8}{3}y'[3]$ 
20.     $y'[1] \leftarrow y[1] + h \cdot y_{\text{derivative}}[1]$ 
21.     $y'[2] \leftarrow y[2] + h \cdot y_{\text{derivative}}[2]$ 
22.     $y'[3] \leftarrow y[3] + h \cdot y_{\text{derivative}}[3]$ 
23.   $y \leftarrow y'$ 
24. Return  $t_{\text{points}}, y1_{\text{points}}, y2_{\text{points}}, y3_{\text{points}}$ 
25. End Function
```


3. 使用 shooting method 解决一维 quantum harmonic oscillator 本征值问题。一维 quantum harmonic oscillator 的薛定谔方程为：

$$-\frac{\hbar}{2m} \frac{d^2}{dx^2} \psi(x) + \frac{m\omega^2}{2} x^2 \psi(x) = E\psi(x)$$

将方程无量纲化，令 $\frac{\hbar}{2m} = 1, \frac{m\omega^2}{2} = 1$ ，原方程化为：

$$(V(x) - E)\psi(x) = (x^2 - E)\psi(x) = \frac{d^2}{dx^2} \psi(x)$$

方程的两个边界条件为：

$$\psi(x \rightarrow -\infty) = 0, \psi(x \rightarrow \infty) = 0$$

由于无法在真正的无穷远处设置边界条件，在计算时应选取合适的长度 L 使：

$$\psi(x = -L) \approx 0, \psi(x = L) \approx 0$$

且计算量不至于太大。

解决问题的基本思路：先将边值问题化为初值问题，我们已经有 $\psi(x = -L) = 0$ ，设置

$\frac{d}{dx} \psi(x = -L) = 1$ （这个值的设置是任意的，因为 ψ 的相对幅值无关紧要，可被归一化）。

再选择一个平凡的本征值 E ，使用 RK4 method 计算出 $x = L$ 处的 $\psi(E)$ 值。通过调整 E 值，使 $x = L$ 处的 $\psi(E) \rightarrow 0$ 。

定义 $RK4(f, \psi_0, x, V, E)$ 函数，通过初值 ψ_0 来计算 $x \in [-L, L]$ 范围内的 ψ 值。

```
4  def derivative(y, V, E):
5      # We set dψ/dx = φ, d^2ψ/dx^2 = dφ/dx = (V-E)ψ = (V-x^2)ψ
6      # y = [ψ, φ]
7      result = np.asarray([y[1], (V - E) * y[0]])
8      return result
9
10 def RK4(f, psi0, x, V, E):
11     # Use RK4 method to calculate ψ in the region
12     psi = np.array([psi0] * len(x))
13
14     for i in range(len(x) - 1):
15         h = x[i+1] - x[i]
16         k1 = f(psi[i], V[i], E)
17         k2 = f(psi[i] + (h*k1) / 2, V[i], E)
18         k3 = f(psi[i] + (h*k2) / 2, V[i], E)
19         k4 = f(psi[i] + (h*k3), V[i], E)
20         psi[i+1] = psi[i] + h * (k1 + 2*k2 + 2*k3 + k4) / 6
21
22     return psi
```

传入的参数 f 是一个函数，用以计算 $f(\psi, V, E) = \frac{d}{dx}\psi$ 。 $derivative(y, V, E)$ 就是用来计算导数的函数。

$$\frac{dy_1}{dx} = \frac{d}{dx}\psi = \phi = y_2, \quad \frac{dy_2}{dx} = \frac{d}{dx}\phi = \frac{d^2}{dx^2}\psi = (V - E)\psi$$

传入的 $y = [\psi, \phi]$ ，返回的 $\frac{dy}{dx} = \left[\frac{d\psi}{dx}, \frac{d\phi}{dx}\right] = [\phi, (V - E)\psi]$ 。这样就完成了通过 RK4 method 计算 ψ 值的功能。

定义 $count_zeros(func)$ 函数来计算波函数与 x 轴的交点数。当 $func[i], func[i + 1]$ 异号时，我们认为波函数穿过了一次 x 轴，交点数+1。

```

24 def count_zeros(func):
25     # Count the number of zero-crossings of the wave function
26     n = len(func)
27     counter = 0
28     for i in range(n - 1):
29         if func[i] * func[i+1] < 0:
30             counter += 1
31     return counter

```

我们先通过波函数与 x 轴的交点来定出 E 的大致范围，因为能量 E 越高，波函数与 x 轴的交点即节点越多。所以当节点数大于我们需要的节点数时，能量偏高，我们需要降低 E 的值；当节点数小于我们需要的节点数时，能量偏低，我们需要升高 E 的值。

定义 $shooting(E_{min}, E_{max}, zeros, \psi_0, x, V)$ 函数来实现 shooting method。 E_{min}, E_{max} 是我们定下的能量上下界，我们可以将范围定的宽一些（我定为 $0 \leq E \leq 100$ ），以确保 E 落在范围内。将 E 的 $tolerance$ 定为 10^{-10} ，然后通过 while 循环缩小 E 的范围直至其精确至 $tolerance$ 。 $minE, maxE$ 分别为 E 的下界和上界，在循环中令 $E = (minE + maxE)/2$ ，当节点数大于我们需要的节点数时，令 $maxE = E$ ，这样就降低了 E 的值；同理，当节点数小于我们需要的节点数时，令 $minE = E$ ，以此升高 E 的值。当节点数与我们需要的节点数相同时，再看 $\psi(x = L)$ 的值是否小于 10^{-5} ，并根据波函数的奇偶性来调整 E 的值。最终当节点数 $num = zeros, \psi(x = L) < 10^{-5}$ 时，我们返回 E 的值；或者当 $maxE - minE = \delta E < 10^{-12}$ 时我们同样返回 E 的值。

```

33 def shooting(E_min, E_max, zeros, psi0, x, V):
34     ''' We use Shooting method to calculate the eigenvalue E
35     E_min - the lower bound of E
36     E_max - the upper bound of E
37     zeros - the number of zero-crossings of the wave function
38     x - the array of x points
39     V - the array of points of potential V(x)
40     '''
41     tolerance = 1e-10
42     minE = E_min
43     maxE = E_max
44
45     while (maxE - minE) > tolerance:
46         E = (minE + maxE) / 2.0
47         psi = RK4(derivative, psi0, x, V, E)[: , 0]
48         num = count_zeros(psi)
49
50         if num > zeros:
51             maxE = E
52         elif num < zeros:
53             minE = E
54         elif abs(psi[-1]) > 1e-5:
55
56             if (num%2 == 0):
57                 if psi[-1] > 0:
58                     maxE = E
59                 else:
60                     minE = E
61             else:
62                 if psi[-1] > 0:
63                     minE = E
64                 else:
65                     maxE = E
66         else:
67             return E
68
69     return E

```

最后在`Harmonic_Oscillator()`和`main()`两个函数中完成参数的设置。

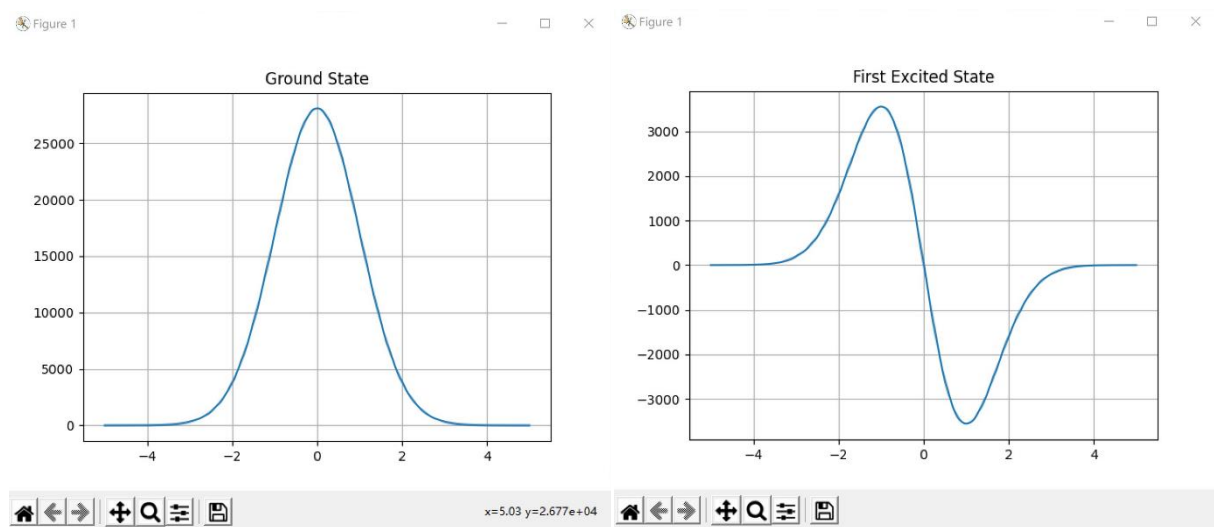
波函数的范围设置为 $x \in [-5.0, 5.0]$ ，实际上 quantum harmonic oscillator 问题是有解析解的， $\psi_0(x) = e^{-\frac{x^2}{2}}$ ， $\psi_1(x) = \sqrt{2}x \cdot e^{-\frac{x^2}{2}}$ ，在 $x = \pm 5.0$ 处的确有 $\psi(x) \rightarrow 0$ 。x 点的间隔 $\Delta x = 0.01$ ，包括首尾共 1001 个点。初值设置为 $[\psi_0, \phi_0] = [0.0, 1.0]$ 。能量 E 的上下界设为 $E_{min} = 0, E_{max} = 100$ ，由于我们有这个问题的解析解， $E_n = \left(n + \frac{1}{2}\right) \hbar \omega$ ，而我们在前文中已经将参数设置为 $\frac{\hbar}{2m} = 1, \frac{m\omega^2}{2} = 1$ ，代入得 $E_n = 2n + 1$ ，所以在 $0 \leq E \leq 100$ 的范围内至少可以找到前数十个激发态的解。程序省去了归一化的步骤。

```

71 def Harmonic_Oscillator(E_min, E_max, zeros):
72     # Initial-value  $\psi_0 = 0.0$ , and we set  $\phi_0 = 1.0$ 
73     psi_0 = np.asarray([0.0, 1.0])
74     x = np.linspace(-5.0, 5.0, num=1001)
75     V = x ** 2
76     E = shooting(E_min, E_max, zeros, psi_0, x, V)
77     psi = RK4(derivative, psi_0, x, V, E)[: , 0]
78
79     return E, x, psi
80
81 def main():
82     E1, x1_points, psi1_points = Harmonic_Oscillator(0, 100, 1)
83     print('Found Ground State at E = %f' % E1)
84     plt.plot(x1_points, psi1_points)
85     plt.title('Ground State')
86     plt.grid()
87     plt.show()
88
89     E2, x2_points, psi2_points = Harmonic_Oscillator(0, 100, 2)
90     print('Found First Excited State at E = %f' % E2)
91     plt.plot(x2_points, psi2_points)
92     plt.title('First Excited State')
93     plt.grid()
94     plt.show()

```

程序运行的结果如图所示：



找到的本征值能量 E ：

```

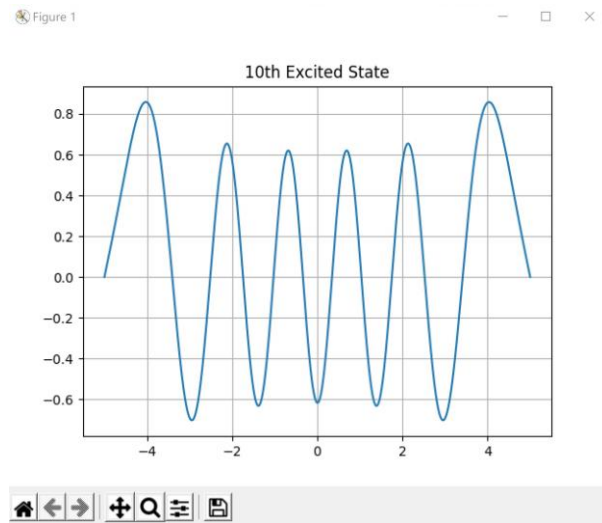
PS C:\Users\11765\Desktop\学习\物理\计算物理\作业\homework7>
.python-2020.11.371526539\pythonFiles\lib\python\debugpy\laur
算物理\作业\homework7\7_3_17307110134.py'
Found Ground State at E = 1.000008
Found First Excited State at E = 3.000008

```

与解析解非常接近。

同样的方法也可以画出更高的激发态的波函数，以及算出更高激发态的能量，下图所示

是第十激发态的波函数：



Input:
$$-\frac{\hbar}{2m} \frac{d^2}{dx^2} \psi(x) + \frac{m\omega^2}{2} x^2 \psi(x) = E \psi(x)$$

Output: The wave function and eigenvalue E of the ground state and first excited state

1. **Function** *derivative*(y, V, E) /* $y = [\psi, \phi]$ */
2. $result \leftarrow [y[2], (V - E)y[1]]$
3. **Return** $result$
4. **End Function**
- 5.
6. **Function** *RK4*(f, ψ_0, x, V, E) /* Use RK4 method to calculate ψ */
7. $\psi \leftarrow [[\psi_0], [\psi_0], \dots, [\psi_0]]$
8. **For** $i \leftarrow 1$ to $len(x)$ **Do**
9. $h \leftarrow x[i + 1] - x[i]$
10. $k1 \leftarrow f(\psi[i], V[i], E)$
11. $k2 \leftarrow f(\psi[i] + \frac{h \cdot k1}{2}, V[i], E)$
12. $k3 \leftarrow f(\psi[i] + \frac{h \cdot k2}{2}, V[i], E)$
13. $k4 \leftarrow f(\psi[i] + h \cdot k3, V[i], E)$
14. $\psi[i + 1] = \psi[i] + h \cdot \frac{k1 + 2k2 + 2k3 + k4}{6}$
15. **Return** ψ
16. **End Function**

```

17.
18. Function count_zeros(func)
19. /* Count the number of zero-crossings of the wave function */
20.  $n \leftarrow \text{len}(func)$ 
21. counter  $\leftarrow 0$ 
22. For  $i \leftarrow 1$  to  $n - 1$  Do
23.     If  $func[i] \times func[i + 1] < 0$  Then
24.         counter  $\leftarrow counter + 1$ 
25.     End If
26. Return counter
27. End Function
28.
29. Function shooting( $E_{min}, E_{max}, zeros, \psi_0, x, V$ )
30. /*  $E_{min}$  — the lower bound of  $E$  */
31. /*  $E_{max}$  — the upper bound of  $E$  */
32. /* zeros — the number of zero-crossings of the wave function */
33. /*  $x$  — the array of  $x$  points */
34. /*  $V$  — the array of points of potential  $V(x)$  */
35. tolerance  $\leftarrow 10^{-10}$ 
36. minE  $\leftarrow E_{min}$ 
37. maxE  $\leftarrow E_{max}$ 
38. While  $maxE - minE > tolerance$  Do
39.      $E \leftarrow \frac{minE + maxE}{2}$ 
40.      $\psi \leftarrow RK4(derivative, \psi_0, x, V, E)$ 
41.     num  $\leftarrow count\_zeros(\psi)$ 
42.     If  $num > 0$  Then
43.         maxE  $\leftarrow E$ 
44.     Elif  $num < 0$  Then
45.         minE  $\leftarrow E$ 

```

- 46. **End If**
- 47. **End While**
- 48. **Return** *E*
- 49. **End Function**